

ارائه مدل جهت خوشبندی کشورهای درگیر ویروس کووید-۱۹ با به کارگیری روش‌های خود سازمان‌ده

تاریخ دریافت: ۹۹/۰۴/۲۷

تاریخ پذیرش: ۹۹/۰۵/۲۷

کد مقاله: ۸۶۵۳۰

ژهره مؤمنی^۱

چکیده

در اواخر دسامبر سال ۲۰۱۹، ویروس جدیدی، با نام کروناویروس جدید-۲۰۱۹، باعث آغاز شیوع پنومونی از ووهان، به سراسر کشور چین شد که در حال حاضر تهدیدات بهداشتی بزرگی را برای سلامتی عمومی جهان ایجاد کرده است. بیماری همه گیر کووید-۱۹ ناشی از کرونا ویروس جدید-۲۰۱۹ در سراسر جهان، در حال گسترش است و تا اول مارس ۲۰۲۰ تعداد ۶۷ کشور، از جمله ایران را مبتلا و درگیر کرده است. در این پژوهش، داده‌های مرتبط با کرونا ویروس جدید-۲۰۱۹ که از سایت بهداشت جهانی اخذ شده، به منظور خوشبندی، از روش‌های خود سازمان‌ده از جمله الگوریتم‌های کوهونن و کا از میانگین و خوشبندی دومرحله‌ای بهره گرفته شده است که هدف تمامی روش‌ها این است که کدام رکورد در کدام خوشبندی جای می‌گیرد، سپس با انجام آزمون، کارایی این سه تکنیک تعیین شده است. نتایج حاکی از آن است که روش خوشبندی دومرحله‌ای کارایی بالاتری نسبت به دو روش دیگر دارد و در خوشبندی شاهد نتایج مطلوب تری با بهره گیری از این روش هستیم.

واژگان کلیدی: کووید-۱۹، خوشبندی، روش‌های خود سازمان‌ده

۱- دانشجوی دکتری تخصصی، مدیریت صنعتی، واحد علوم و تحقیقات، دانشگاه آزاد اسلامی، تهران، ایران؛
zohrehmomeni21@gmail.com

۱- مقدمه

خبر ابتلای چندین نفر به یک ذات الایه غیرمعمول در ابتدای سال نو میلادی ۲۰۲۰ به سازمان بهداشت جهانی از سوی چین باعث معرفی نوع جدیدی از کروناویروس به عنوان عامل ایجاد یک بیماری تنفسی جدید گردید. با گسترش بسیار سریع این بیماری در چین و پس از آن به سایر نقاط دنیا، کروناویروس جدید با نام علمی *SARS-CoV-2* و بیماری حاصل از آن به نام کووید-۱۹^۱ نگرانی و وحشت زیادی را در بین مردم جهان به وجود آورد و سازمان بهداشت جهانی نیز طی اطلاعیه‌ای، شیوع این ویروس را عامل وضعیت اضطراری بهداشت عمومی در سرتاسر جهان اعلام نمود. بیماری کروناویروس^۲ یا کووید-۱۹ که به آن بیماری تنفسی حاد ان کاو-۲۰۱۹^۳ نیز گفته می‌شود، بیماری‌ای عفونی است که بر اثر کروناویروس سندروم حاد تنفسی ۲ ایجاد می‌شود. این بیماری دلیل دنیاگیری ۲۰۱۹-۲۰ کروناویروس است. عالیم معمول آن تب، سرفه، تنگی نفس و به تازگی نابویابی هستند. درد عضلانی، گلودرد، ناچشایی و سرخی چشم از جمله نشانه‌های کمتر معمول آن هستند. با این که اکثریت موارد این بیماری باعث عالیم خفیف می‌شود، بعضی از موارد به سینه‌پهلو و نارسایی چند اندامی پیشرفت می‌کند. نرخ مرگ و میر بین ۱٪ و ۵٪ تخمین زده می‌شود ولی بر حسب سن و دیگر شرایط سلامتی تغییر می‌کند. این بیماری اساساً از طریق قطرات ریز تنفسی افراد مبتلا، وقتی سرفه یا عطسه می‌کنند، به سایر افراد سرایت می‌کند. زمان مابین در معرض بیماری قرار گرفتن و بروز نشانه‌ها، بین ۲ و ۱۴ روز است. از طریق شستن دست‌ها و دیگر تدابیر بهداشتی، می‌توان از پخش آن جلوگیری کرد (توکلی و همکاران، ۱۳۹۸ و ۲۰۲۰ & Lai et al., 2020). محمدی و روحانی (۱۳۹۶) در مقاله‌ای تحت عنوان "به کارگیری روش‌های خوشه بندی کا از میانگین، میانگین فازی و گوستافسون کسل در تلفیق نتایج وارون سازی داده‌های توموگرافی لرزه‌ای انکساری و مقاومت ویژه الکتریکی برای ارزیابی آبرفت و سنگ بستر" به مطالعه پرداخته‌اند. در این مطالعه با استفاده از روش شاخص دان برای بهینه سازی تعداد خوشه‌ها عدد ۱۲ به دست آمد که با توجه به نقشه‌های به دست آمده برای مقاومت ویژه الکتریکی و توموگرافی لرزه‌ای انکساری، تعداد خوشه مناسبی است. با توجه به بررسی‌های انجام شده در این مطالعه در بستر سد، محدوده آبرفت و سنگ بستر و همچنین لایه بندی، روش خوشه بندی گوستافسون کسل نتیجه بهتری را نشان داده است. با به کار بردن نتایج میانگین فازی در آغاز الگوریتم گوستافسون-کسل، گام‌های تکرار کاهش و سرعت همگرایی افزایش می‌یابد (محمدی و روحانی، ۱۳۹۶). توکلی و همکاران (۱۳۹۸) در مقاله‌ای تحت عنوان "کروناویروس جدید ۲۰۱۹: بیماری عفونی نوظهور در قرن ۲۱" به بررسی پرداخته‌اند. در این مطالعه، در جستجوی اولیه، تعداد ۱۴۱۶ مقاله شرایط موارد تکراری و ارزیابی عنوان و چکیده، ۵۳ مقاله برگزیده شد. پس از بررسی متن کامل مقالات در نهایت تعداد ۳۷ مقاله شرایط لازم برای شرکت در این مطالعه را دارا بودند. بر اساس گزارش سازمان بهداشت جهانی، دوره نهفتگی کرونا ویروس جدید بین ۲-۱۰ روز می‌باشد. به طور کلی نرخ کشندگی این ویروس ۴،۳ درصد بوده و نتایج این مطالعه نشان می‌دهند که میزان مرگ و میر این ویروس در سالمندان و افراد مبتلا به بیماری‌های زمینه‌ای در مقایسه با افراد سالم به میزان ناشان می‌باشد. گروه‌های پرخطر برای این بیماری به ترتیب شامل بیماران قلبی-عروقی، دیابتی، مبتلایان به بیماری‌های تنفسی مزمن و فشار خون بالا می‌باشند. نرخ مرگ و میر در افراد سالم کمتر از یک درصد برآورد شده است (توکلی و همکاران، ۱۳۹۸)؛ جفری و همکاران (۱۳۹۹) در مقاله‌ای با عنوان "تحلیل موضوعی مطالعات کووید-۱۹ در پنج قاره بزرگ" به مطالعه پرداختند. هدف این مطالعه آشکارسازی موضوعات پژوهشی کووید-۱۹ در پنج قاره بر اساس آثار نمایه شده در وب آو ساینس است. نتایج این مطالعه نشان داد که پژوهشگران آسیایی برمیاخت اپیدمیولوژیک، پژوهشگران اروپایی بر میاخت بیولوژیک و پژوهشگران آمریکایی بر میاخت اپیدمیولوژیک و ژنتیک متمن کز هستند (جفری و همکاران، ۱۳۹۹). علی پور و همکاران (۱۳۹۸) در مقاله‌ای تحت عنوان "مروری بر اثرات عصبی و شناختی کووید-۱۹" به بررسی پرداختند. در این بررسی گزارش‌ها نشان از حملات ویروسی به دستگاه اعصاب مرکزی و ایجاد التهاب ویروسی مغز داشته همچنین بر نقش واسطه ای سیستم ایمنی بدن در مقابله با عفونت تأکید گردیده است. فقدان حس بویایی و چشایی در افراد مبتلا و ارتباط آن با سیستم شواهد موجود- مطالعه مروی" به مطالعه پرداختند. در این مطالعه مروی، بر اساس شواهد منتشر شده تا اول مارس ۲۰۲۰، ویژگی‌های ابیدمی و اتوولوژیک کرونا ویروس نوین-۲۰۱۹، ویژگی‌های اساسی بیولوژیکی آن، از جمله گیرنده‌ها و مسیر انتقال آن، تشریح رویکردهای پیشگیری از بیماری و درمان کووید-۲۳ را راهه شده است (فرنوش و همکاران، ۱۳۹۹). جوادی و همکاران (۱۳۹۷) در مقاله‌ای تحت عنوان "تحلیل چند پارامتره

۱ COVID-19

۲ Coronavirus disease 2019

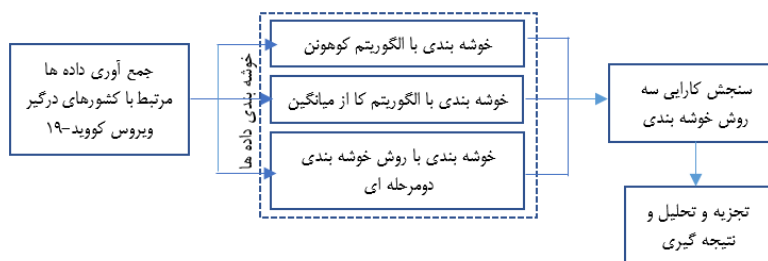
۳ nCoV acute respiratory disease-2019

آلودگی آبخوان قزوین بر مبنای نقشه کاربری اراضی و با استفاده از تکنیک خوش بندی کا از میانگین^۱ به بررسی پرداختند. در این تحقیق با به کارگیری تکنیک خوش بندی و با توجه به کاربری اراضی وضع موجود، نقشه پهنه بندی کیفی بر اساس ترکیب چند پارامتر استخراج شده است. نتایج نشان می دهد با توجه به استاندارد جهانی آب شرب و در نظر گرفتن سه پارامتر منتخب، مناسب ترین خوشه (C1) با مساحت ۲۲ درصد در نواحی شمالی آبخوان بوده و به سمت نواحی مرکزی، که تمکز فعالیت های کشاورزی و صنایع است، آلودگی در آبخوان (خوشه های C4 و C5) با مساحت ۳۵ درصد به عنوان نامناسب ترین منطقه شناخته شده اند (جوادی و همکاران، ۱۳۹۷). کریمی علوبیجه و همکاران (۱۳۹۵) در مقاله ای تحت عنوان "روش فرالاتکاری در یکپارچه سازی مدل بخش بندی بازار مشتریان تلفن همراه تهران با استفاده از شبکه های خودسازمانده و روش میانگین کا"^۲ به مطالعه پرداختند. در این مطالعه، با هدف دستیابی به درکی صحیح از بازار هدف، رفتار مصرف و سبک زندگی خود بازارهای تحقیق، پس از نقد روش های سنتی و معروفی تکنیک های بخش بندی مبتنی بر شبکه های عصبی، با بهره مندی از روش دلفی فازی، متغیرهای بخش بندی بازار هدف انتخاب شده است و از طریق شبکه های خودسازمانده کوهن، تعداد خوشه های مناسبی از جامعه آماری به دست آمد و در نهایت با استفاده از تکنیک میانگین کا و تکنیک تجمعی، به تدقیق خوشه بندی ها و بخش بندی بازار پرداخته شده است. پس از جمع آوری داده ها از طریق پرسشنامه و تجزیه و تحلیل آن ها، یافته ها نشان داد بازار تلفن همراه تهران در پنج خوشه دسته بندی می شود که هر یک می تواند قابلیت پیاده سازی استراتژی های بازاریابی مجزا، با در نظر گرفتن مزیت های رقابتی شرکت های حوزه ICT^۳ برای حداکثرسازی تقاضا و حاشیه سود، داشته باشد (کریمی علوبیجه و همکاران، ۱۳۹۵). روش های خوش بندی در برخی از تحقیقات توسعه یافته است یا با روش های دیگر جهت بهبود نتایج ادغام شده است. در این تحقیق روش خوش بندی کا از میانگین معروفی شده است (Manochandar et al., 2020). در این مطالعه یک روش طبقه بندی درخت تصمیم چند متغیره خطی دودویی مبتنی بر الگوریتم کا از میانگین معرفی شده است. در این روش جدید، از حذف موارد اقلیت در موارد نامتعادل خودداری به عمل آمده است؛ علاوه بر این مدل پیشنهادی جدید مبتنی بر هایپرپلن^۴ بوده و به روند طبقه بندی سرعت می بخشد (Wang et al., 2020). در تحقیقی دیگر با استفاده از روش خود سازمان ده کوھونن جهت بهبود شبکه های عصبی چندلایه بهره گرفته شده است. در این تحقیق علی رغم کاهش ابعاد مسئله به افزایش آن پرداخته شده است تا شبکه های عصبی پیکربندی شبکه های جدید را تشکیل دهند تا اطلاعات پیشتری داشته باشند. برای تقویت اطلاعات، از روش خود سازمان ده کوھونن استفاده شده است، که می تواند روده های بیشتر را ارائه داده و به همان اندازه وزن مشابه تولید کند (Kamimura, 2019). پژوهش حاضر بر آن است که داده های مرتبط با کرونا ویروس جدید- ۲۰۱۹ را که از سایت بهداشت جهانی به آدرس -covid19.who.int- در تاریخ ۷ ژوئن اخذ نموده و به منظور خوش بندی، از روش های خود سازمان ده از جمله الگوریتم های کوھونن و کا از میانگین و خوش بندی دومرحله ای بهره گیرد و در نهایت با انجام آزمون، کارایی این سه تکنیک تعیین شده است.

۲- اهداف پژوهش

هدف اصلی: خوش بندی داده های کرونا ویروس جدید- ۲۰۱۹ می باشد که اهداف فرعی به شرح ذیل می باشند:

- (۱) خوش بندی با الگوریتم کوھونن^۲
- (۲) خوش بندی با الگوریتم کا از میانگین^۳
- (۳) خوش بندی با روش خوش بندی دومرحله ای^۴



شکل ۱- مدل مفهومی پژوهش

¹ hyperplane

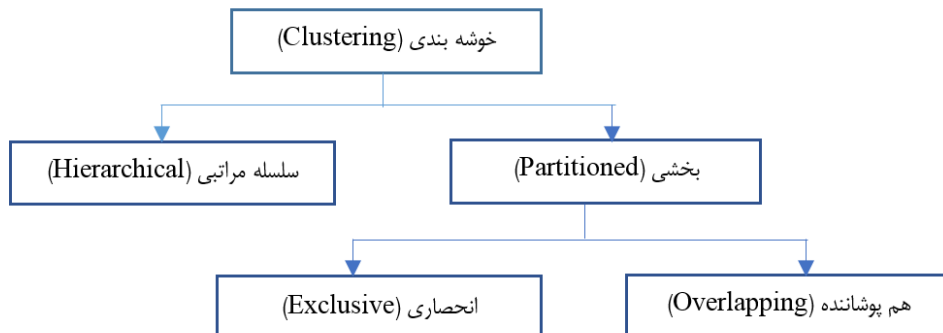
² Kohonen

³ K-means

⁴ Two-step

۳- روش تحقیق

امروزه، میزان داده های تولید شده و ذخیره شده به دلیل پیشرفت شگفت انگیز ابزارهای تولید، اندازه گیری و جمع آوری اطلاعات به طور چشمگیری افزایش یافته است. به علت وجود ظرفیت شناسایی دانش از داده های اندازه گیری شده، رشته جدآگانه علمی ایجاد شد که به علم «کشف دانش از بانک داده ها»^۱ شناخته شده است. داده کاوی در واقع کاربرد یک الگوریتم خاص برای استخراج الگوهای از داده هاست که امکان استخراج دانش جدید را در یک فرآیند علمی یا یک سیستم فراهم می سازد. انواع مختلفی از روش های داده کاوی ارائه و توسعه شده اند که پر کاربردترین آن ها خوش بندی می باشد. در تحقیقات مهندسی و مدیریت، تحلیل خوش بندی ابزار بسیار کارآمدی به شمار می رود. «تحلیل خوش بندی^۲» بطور خلاصه خوش بندی، فرآیندی است که به کمک آن می توان مجموعه ای از اشیاء را به گروههای مجزا افزای کرد. هر افزای یک خوش نامیده می شود. اعضاء هر خوش بندی توجه به ویژگی هایی که دارند به یکدیگر بسیار شبیه هستند و در عوض میزان شباهت بین خوش بندی ها کمترین مقدار است. در چنین حالتی هدف از خوش بندی، نسبت دادن برچسب هایی^۳ به اشیاء است که نشان دهنده عضویت هر شئ به خوش بندی است. به این ترتیب تفاوت اصلی که بین تحلیل خوش بندی و طبقه بندی وجود دارد، نداشت برچسب های اولیه برای مشاهدات است. در نتیجه براساس ویژگی های مشترک و روش های اندازه گیری فاصله یا شباهت بین اشیاء، باید برچسب هایی بطور خودکار نسبت داده شوند. در حالی که در طبقه بندی برچسب های اولیه موجود است و باید با استفاده از الگوی های پیش بینی قادر به برچسب گذاری برای مشاهدات جدید باشیم، با توجه به روش های مختلف اندازه گیری شباهت یا الگوریتم های تشکیل خوش، ممکن است نتایج خوش بندی برای مجموعه داده ثابت متفاوت باشند. شایان ذکر است که تکنیک های خوش بندی در علوم مختلف مانند، گیاه شناسی، هوش مصنوعی، تشخیص الگوهای مالی و ... کاربرد دارند. اگر چه بیشتر الگوریتم ها یا روش های خوش بندی مبنای یکسانی دارند ولی تفاوت هایی در شیوه اندازه گیری شباهت یا فاصله و همچنین انتخاب برچسب برای اشیاء هر خوش در این روش ها وجود دارد. به طور کلی روش های خوش بندی به دو دسته روش های خوش بندی سلسه مراتبی و خوش بندی بخشی تقسیم می گردد. خوش بندی بخشی نیز شامل دو گروه روش های انحصاری و هم پوشاننده است (شکل ۲). در خوش بندی بخشی انحصاری، یک جزء منحصراً عضو یک مجموعه است. تکنیک های کامیانگین و شبکه عصبی خودسازمان (SOM^۴) نمونه ای از این نوع روش ها هستند؛ اما روش های هم پوشاننده، بر اساس تئوری مجموعه های فازی بنا شده اند که در آن ها هر جزء می تواند عضو یک یا چند مجموعه باشد (جوادی و همکاران، ۱۳۹۷ و کریمی علويجه و همکاران، ۱۳۹۵).



شکل ۲- طبقه بندی از انواع خوش بندی (کریمی علويجه و همکاران، ۱۳۹۵)

۱-۳- الگوریتم کوهون

الگوریتم کوهون توسط تیو کوهون^۵، استاد دانشگاه هلسینکی فنلاند و نویسنده کتاب Self-organizing maps برای اولین بار ارائه شد. فرض این الگوریتم، یک ساختار توبولوژیکی در بین واحدهای خوش بندی مشابه آنچه در مغز انسان می باشد که در سایر روش ها دیده نمی شود. شبکه خود سازمانده کوهون، یک شبکه عصبی بدون سرپرست می باشد که هدفش کاهش بعد و خوش بندی است. کوهون به علت استفاده از تابع همسایگی به منظور حفظ ویژگی های مکانی فضایی و رودی با سایر شبکه های

۱ (KDD) Knowledge Discovery in Database

۲ Cluster Analysis

۳ Subject

۴ Self-Organization Map (SOM)

۵ Teuvo Kohonen

عصی متفاوت است. هر شبکه کوهون از تعدادی نود (گره) تشکیل شده است. هر نود دارای برداری از وزن ها می باشد. ابعاد این بردار با ابعاد فضای ورودی برابر است. پس از آموزش شبکه هر ناحیه از نودهای شبکه به الگوهای خاصی از داده های ورودی واکنش نشان می دهدند. روش آموزش شبکه یادگیری رقابتی است. وقتی نمونه آموزشی جدید به شبکه اعمال می شود فاصله اقلیدسی آن از بردار وزن تمام نودهای شبکه حساب می شود. در خوشة بندی کوهون، گام هایی به قرار زیر طی می شود:

مرحله صفر: مقداردهی اولیه به وزن ها، پارامترهای مربوط به ساختار همسایگی را تعیین نمایید، پارامترهای نرخ یادگیری را تعیین نمایید.

مرحله ۱: تا زمانی که شرایط توقف برقرار نیست، مراحل ۲ تا ۸ را انجام دهید.

مرحله ۲: برای هر بردار ورودی X ، مراحل ۳ تا ۵ را انجام دهید.

مرحله ۳: برای هر α ، مقدار زیر را محاسبه نمایید:

$$D(j) = \sum_i (w_{ij} - x_i)^2 \quad (1)$$

مرحله ۴: اندیس زرا طوری بدست آورید که $D(j)$ کمینه گردد.

مرحله ۵: برای تمام واحدهای j که در همسایگی مشخصی از j قرار دارند و برای تمام i ها قرار داده شود:

$$w_{ij}(new) = w_{ij}(old) + \alpha [x_i - w_{ij}(old)] \quad (2)$$

مرحله ۶: نرخ یادگیری را به روز نمایید.

نرخ یادگیری: تابعی از زمان (یا دورهای آموزش) است که با گذشت زمان به آرامی کاهش می یابد و کاهش این پارامتر به صورت خطی، برای کاربردهای ملی مناسب تر است.

مرحله ۷: شعاع همسایگی ساختار توپولوژیک را در زمان های مشخص کاهش دهید.

شعاع همسایگی ساختار توپولوژیک: شعاع ناحیه اطراف یک خوشه نیز با پیشروی فرآیند خوشه بندی کاهش می یابد.

مرحله ۸: شرایط توقف را بررسی نمایید (سلطانی و همکاران، ۱۳۸۹ و Ebrahim ghadiri & Mazlumi, 2019).

۲-۳- الگوریتم کا از میانگین

روش کا میانگین، کاربردی ترین روش خوشه بندی داده هاست. این روش اولین بار توسط (مک کوین، ۱۹۶۷) ارائه شد. تعداد خوشه ها در این روش ثابت و از پیش تعیین شده است. این روش برای خوشه بندی داده هایی طراحی شد که به صورت عددی (کمی) باشد و خوشه دارای مرکزی به نام «میانگین» باشد. در این روش ابتدا اشیاء به صورت تصادفی به K خوشه تقسیم می شوند. در گام بعد، فاصله هر یک از اشیاء از مرکز خوشه خود محاسبه می شود. در صورتی که فاصله شیء مورد نظر از میانگین خوشه خود زیاد و به خوشه دیگری نزدیک تر باشد، این شیء به خوشه ای که نزدیک تر است اختصاص می یابد. این کار آنقدر تکرار می شود تا تابع خطای خودش شود و یا اعضای خوشه ها تغییر نیابند. تابع خطای (EF) مجموع فواصل هر شیء از مرکز خوشه خودش تعریف می شود که طبق فرمول ذیل محاسبه می گردد:

$$EF = \sum_{i=1}^k \sum_{X \in C_i} d(X, \mu(C_i)) \quad (3)$$

که در آن، C_i نشاندهنده مرکز (میانگین) خوشه، و $d(X, \mu(C_i))$ فاصله هر شیء از مرکز خود است. به دلیل این که در این نوع خوشه بندی تابع خطای داریم که باید آن را حداقل نماییم، می توان به این مسائل به دید مسائل بهینه سازی نگریست. در این نوع خوشه بندی تابع هدفی وجود دارد که تابع خطاست و به دنبال حداقل سازی آن هستیم و محدودیت هایی چون: (الف) تعداد خوشه ها از پیش تعیین شده استو نمی توان آن ها را کم یا زیاد کرد؛ و (ب) تعداد اعضای هر یک از خوشه ها نمی تواند صفر باشد، وجود دارد.

در خوشه بندی کا میانگین، گام هایی به قرار زیر طی می شود:

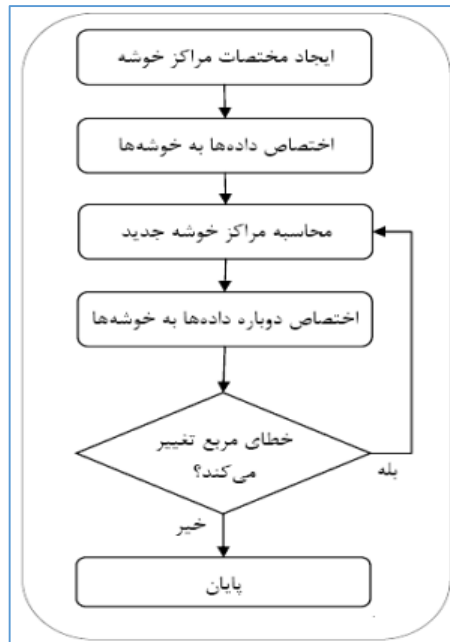
گام آغازین: فنکیک داده های اولیه به K خوشه به صورت دلخواه.

گام تکراری: (الف) محاسبه فاصله هر شیء از مرکز خود، (ب) محاسبه تابع خطای.

گام بهبود: جابجایی عضوی که بیشترین فاصله را با مرکز خوشه خودش دارد، به خوشه ای که کمترین فاصله را با آن دارد.

دستور توقف: تغییر نیافتن اعضای خوشه ها یا کاهش نیافتن مقدار تابع خطای یا عدم تغییر در خوشه ها (مؤمنی، ۱۳۹۸ و Kantardzic, 2011).

در نهایت، متداول‌ترین روش خوشه بندی مطابق الگوریتم ذیل می باشد (شکل ۳):



شکل ۳- مراحل انجام الگوریتم خوشبندی کا از میانگین (جوادی و همکاران، ۱۳۹۷)

۳-۳- خوشبندی دومرحله‌ای

جهت تحلیل و گروه بندی مجموعه داده‌های بزرگ از الگوریتم‌های خوشبندی استفاده می‌شود. این نوع الگوریتم‌ها با استفاده از روش خوشبندی سلسه مراتبی، مشاهدات را در خوشبندی می‌کنند. در مقایسه با دیگر روش‌های خوشبندی، الگوریتم خوشبندی دومرحله‌ای دو مزیت اصلی دارد: اول اینکه امکان خوشبندی هم معیارهای پیوسته و هم معیارهای گسسته را فراهم می‌کند. همچنین تعداد خوشبندی این الگوریتم تعیین می‌شود، در نتیجه احتمال خطأ تا حد امکان به صفر می‌رسد. یکی از الگوریتم‌های خوشبندی، الگوریتم خوشبندی دومرحله‌ای است. این روش، ابزاری اکتشافی است که برای آشکار نمودن خوشبندی‌های ذاتی و طبیعی موجود در مجموعه داده که به طور معمول دیده نمی‌شوند، طراحی شده است. وجه تمایز الگوریتم موجود در این روش با فنون سنتی خوشبندی عبارت است از:

قابلیت خوشبندی بر اساس متغیرهای گسسته (رسته‌ای) و پیوسته

انتخاب خودکار تعداد خوشبندی‌ها

قابلیت تحلیل کارآمد فایل داده‌های بسیار بزرگ

الگوریتم تحلیل خوشبندی دومرحله‌ای بدین صورت است که با فرض مستقل بودن متغیرها در مدل خوشبندی، اندازه درستنمایی^۱ را به عنوان فاصله موجودیت‌ها در نظر می‌گیرد. هم چنین، فرض بر این است که هر متغیر پیوسته دارای توزیع نرمال و هر متغیر گسسته دارای توزیع نرمال چندمتغیری است. البته آزمون‌های تجربی نشان می‌دهد که الگوریتم دومرحله‌ای نسبت به تغییر فرض‌های استقلال و نرمال بودن، به اندازه کافی نیرومند^۲ است. الگوریتم خوشبندی دومرحله‌ای به صورت زیر خلاصه می‌شود:

مرحله اول: در این مرحله که مرحله پیش-خوشه^۳ می‌باشد، بر اساس رویکرد خوشبندی سلسه مراتبی تجمعی^۴، هر رکورد به عنوان یک خوشبندی درنظر گرفته می‌شود. تمامی رکوردها یک به یک بررسی شده و بر اساس معیار درنظر گرفته شده برای فاصله موجودیت‌ها، در مورد ادغام آن با خوشبندی‌های قبل یا آغاز یک خوشبندی جدید تصمیم گیری می‌شود. بنابراین در این مرحله به زیرخوشبندی دست می‌یابیم.

مرحله دوم: در این مرحله زیرخوشبندی‌های مرحله اول به عنوان ورودی‌ها درنظر گرفته شده و بر اساس خوشبندی سلسه مراتبی تجمعی به تعداد خوشبندی‌های موردنظر تبدیل می‌شوند. در صورت عدم تعیین تعداد خوشبندی‌ها، این الگوریتم به صورت

1 Likelihood Measure

2 Robust

3 Pre-cluster

4 Agglomerative hierarchical clustering method

خودکار و با معیارهایی هم چون 'AIC' و 'BIC' زیرخوشه ها را به تعداد بهینه‌ای از خوشه ها تبدیل می‌کند (زعفریان و همکاران، ۱۳۹۷ و Hassannezhad & Clarkson, 2017).

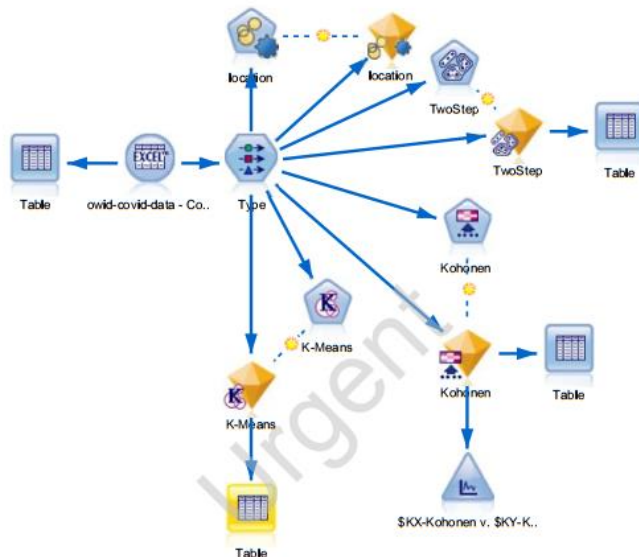
نتایج و بحث

پژوهش حاضر داده های مرتبط با کرونا ویروس جدید-۲۰۱۹ را که از سایت بهداشت جهانی در تاریخ ۷ ژوئن اخذ نموده و به منظور خوشه بندی، از روش های خود سازمان ده از جمله الگوریتم های کوهونن و کا از میانگین و خوشه بندی دومرحله ای بهره گرفته است که هدف تمامی تکنیک ها این است که کدام رکورد در کدام خوشه جای می گیرد و در نهایت با انجام آزمون، کارایی این سه تکنیک تعیین شده است. داده ها در قالب فایل اکسل از سایت بهداشت جهانی در بازه ماه اول (January) سال ۲۰۲۰ الی ماه ششم (June) سال ۲۰۲۰ در تاریخ های متفاوت در طول این بازه برای ۸۰ کشور و رکورد آخر مربوط به آمار کل کشورهای جهان است) جمع آوری شده است که شامل ۲۴ ستون (متغیر) به شرح جدول ۱ می باشد:

جدول ۱- نام ستون های داده های اخذ شده و توضیحات مربوط به آن ها

ردیف	نام ستون	توضیحات
۱	نام قاره	نام قاره از جمله آسیا، اروپا، آفریقا، استرالیا، آمریکا
۲	نام کشور	نام کشور از ۵ قاره در تاریخ های متفاوت جهت جمع آوری آمار
۳	تاریخ	تاریخ های متفاوت جهت جمع آوری آمار بیماری کووید-۱۹ به تفکیک هر کشور
۴	نرخ کل مبتلایان	نرخ کل افراد مبتلا به بیماری کووید-۱۹
۵	نرخ مبتلایان جدید	نرخ افراد جدید مبتلا شده به بیماری کووید-۱۹
۶	نرخ کل مرگ و میر	نرخ کل مرگ و میر بر اثر بیماری کووید-۱۹
۷	نرخ مرگ و میر جدید	نرخ مرگ و میر جدید بر اثر بیماری کووید-۱۹
۸	نرخ کل مبتلایان در هر میلیون	نرخ کل افراد مبتلا به بیماری کووید-۱۹ در هر میلیون به تفکیک هر کشور
۹	نرخ مبتلایان جدید در هر میلیون	نرخ افراد جدید مبتلا شده به بیماری کووید-۱۹ در هر میلیون به تفکیک هر کشور
۱۰	نرخ کل مرگ و میر در هر میلیون	نرخ کل مرگ و میر در هر میلیون به تفکیک هر کشور
۱۱	نرخ مرگ و میر جدید در هر میلیون	نرخ مرگ و میر جدید بر اثر بیماری کووید-۱۹ در هر میلیون به تفکیک هر کشور
۱۲	شاخص شدت	عددی از ۰ تا ۱۰۰ است که این شاخص ها را معنکس می کند. نمره شاخص بالاتر نشان دهنده سطح شدت بالاتر است
۱۳	جمعیت	میزان جمعیت به تفکیک هر کشور
۱۴	تراکم جمعیت	میزان تراکم جمعیت به تفکیک هر کشور با واحد نفر بر کیلومتر مربع
۱۵	متوسط سن افراد مبتلا	متوسط سن افراد مبتلا به بیماری کووید-۱۹
۱۶	افراد مبتلا بالای ۶۵ سال	نرخ افراد مبتلا به بیماری کووید-۱۹ که بالای ۶۵ سال سن دارند
۱۷	افراد مبتلا بالای ۷۰ سال	نرخ افراد مبتلا به بیماری کووید-۱۹ که بالای ۷۰ سال سن دارند
۱۸	سرانه تولید ناخالص داخلی	کل ارزش پولی محصولات نهایی تولیدشده توسط واحدهای اقتصادی مقیم کشور در دوره زمانی ممین
۱۹	شدت فقر	این شاخص شدت فقر را با در نظر گرفتن تعداد فقراء، عمق فقر و نابرابری بین فقرا اندازه گیری می کند
۲۰	نرخ مرگ و میر بیماران قلبی و عروقی مبتلا	نرخ مرگ و میر بر اثر بیماری کووید-۱۹ که دارای بیماری زمینه ای قلبی و عروقی می باشد
۲۱	نرخ مرگ و میر بیماران دیابتی مبتلا	نرخ مرگ و میر بر اثر بیماری کووید-۱۹ که دارای بیماری زمینه ای دیابت می باشد
۲۲	نرخ زن های سیگاری	نرخ زن های مبتلا به بیماری کووید-۱۹ که سیگار می کشند
۲۳	نرخ مرد های سیگاری	نرخ مرد های مبتلا به بیماری کووید-۱۹ که سیگار می کشند
۲۴	نرخ تخت بیمارستان در هر هزار	نرخ تخت بیمارستان در هر هزار به تفکیک هر کشور

خوشه بندی، با روش های خود سازمان ده از جمله الگوریتم های کوهونن و کا از میانگین و خوشه بندی دومرحله ای صورت گرفته است که مدل کلی آن مطابق شکل ۴ است.



شکل ۴- شماتی کلی از مدل با نرم افزار IBM Modeler 18.0

در ابتدا بر روی داده های اخذ شده، الگوریتم کوهونن صورت گرفته است، بر اساس خروجی نرم افزار IBM Modeler 18.0 فضای ورودی به ۱۲ خوش تقطیم بندی شده است که با توجه به مختصات هر رکورد می توانیم تصمیم بگیریم کدام رکورد در کدام خوش قرار دارد که اطلاعات آن به شرح جدول ۲ می باشد. در مرحله بعد با استفاده از الگوریتم کا از میانگین، کلاستریندی روی داده ها صورت گرفته است که فضای ورودی مطابق انتخاب نویسنده به ۵ خوش تقطیم بندی شده است که اطلاعات آن به شرح جدول ۳ می باشد. در نهایت، با استفاده از روش خوشبندی دومرحله ای، کلاستریندی روی داده ها صورت گرفته است که اطلاعات آن به شرح جدول ۴ می باشد.

با ملاحظه جدول ۲، در الگوریتم کوهونن، با در نظر گرفتن معادلات شماره ۱ و ۲، رکوردها به ۱۲ خوش تقطیم بندی شده اند که با توجه به ماهیت داده ها برخی از رکوردها در خوش های دیگر تکرار شده اند. تعداد رکوردها در دو خوشه ۱ و ۳ با یکدیگر مشابه بوده و برابر با ۱۹ است، تعداد رکوردها در دو خوشه ۵ و ۶ با یکدیگر مشابه بوده و برابر با ۲ است و تعداد رکوردها در دو خوشه ۴ و ۸ نیز با یکدیگر مشابه بوده و برابر با ۱ است. در خوشه شماره ۸، رکورد مربوط به کل کشورهای جهان به تنهایی قرار گرفته است. بیشترین تعداد رکورد در خوشة آخر یعنی ۱۲ قرار دارد. با ملاحظه جدول ۳، در الگوریتم کا از میانگین، با در نظر گرفتن معادله شماره ۳، رکوردها به ۵ خوش تقطیم بندی شده اند. در خوشه شماره ۲، رکورد مربوط به کل کشورهای جهان به تنهایی قرار گرفته است. بیشترین تعداد رکورد در خوشه ۳ قرار دارد. دو الگوریتم کوهونن و کا از میانگین، حداکثر تعداد رکورد در خوشه یکسان دارند که برابرست با ۲۳ رکورد. با ملاحظه جدول ۴، در روش خوشبندی دومرحله ای، رکوردها به ۳ خوش تقطیم بندی شده اند. بیشترین تعداد رکورد در خوشه آخر یعنی ۳ قرار دارد.

نمودار دایره ای به ترتیب مرتبط با الگوریتم کوهونن، الگوریتم کا از میانگین و روش خوشبندی دومرحله ای در شکل های ۵، ۶ و ۷ نشان داده شده اند که درصد هر خوشه را به تفکیک هر روش در نمودار دایره ای نمایش می دهد و در جدول پایین هر نمودار اندازه کوچکترین خوشه، بزرگترین خوشه و نسبت بزرگترین خوشه به کوچکترین خوشه را به تفکیک هر روش نمایش می دهد.

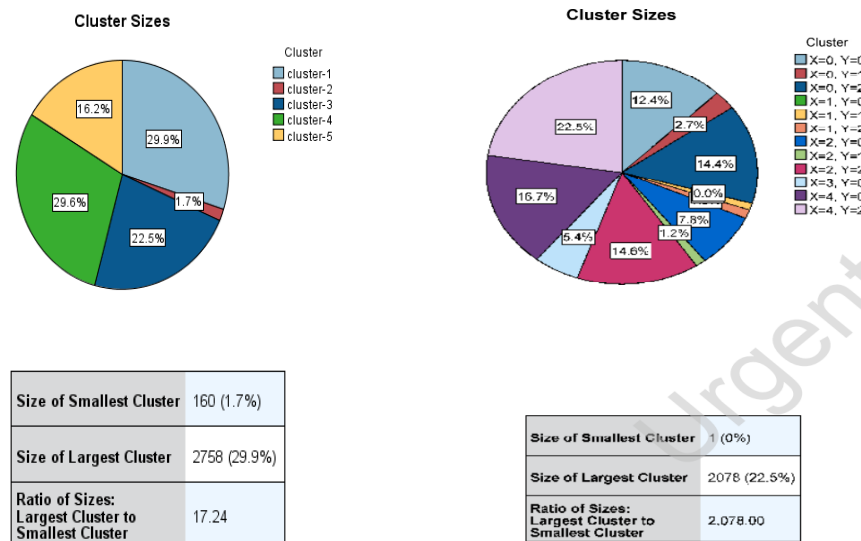
جدول ۲- مشخصات خوشه های به دست آمده از روش کوهون												
نام خوشه	C**1	C**2	C**3	C**4	C**5	C**6	C**7	C**8	C**9	C**10	C**11	C**12
نرخ کل مبتلایان	نگرو، نرود، پرقال، دومنی، روسیه، اسلوکی، اسپانیا، سوئد، اکراین، ترکیبیں	نگرو، نرود، پرقال، دومنی، روسیه، اسلوکی، اسپانیا، سوئد، اکراین، ترکیبیں	نگرو، نرود، پرقال، دومنی، روسیه، اسلوکی، اسپانیا، سوئد، اکراین، ترکیبیں	نگرو، نرود، پرقال، دومنی، روسیه، اسلوکی، اسپانیا، سوئد، اکراین، ترکیبیں	نگرو، نرود، پرقال، دومنی، روسیه، اسلوکی، اسپانیا، سوئد، اکراین، ترکیبیں	نگرو، نرود، پرقال، دومنی، روسیه، اسلوکی، اسپانیا، سوئد، اکراین، ترکیبیں	نگرو، نرود، پرقال، دومنی، روسیه، اسلوکی، اسپانیا، سوئد، اکراین، ترکیبیں	نگرو، نرود، پرقال، دومنی، روسیه، اسلوکی، اسپانیا، سوئد، اکراین، ترکیبیں	نگرو، نرود، پرقال، دومنی، روسیه، اسلوکی، اسپانیا، سوئد، اکراین، ترکیبیں	نگرو، نرود، پرقال، دومنی، روسیه، اسلوکی، اسپانیا، سوئد، اکراین، ترکیبیں	نگرو، نرود، پرقال، دومنی، روسیه، اسلوکی، اسپانیا، سوئد، اکراین، ترکیبیں	نگرو، نرود، پرقال، دومنی، روسیه، اسلوکی، اسپانیا، سوئد، اکراین، ترکیبیں
نرخ مبتلایان جدید	نرخ کل مرگ و میر	نرخ مرگ و میر جدید	نرخ کل مبتلایان در هر میلیون	نرخ کل مبتلایان جدید در هر میلیون	نرخ کل مرگ و میر در هر میلیون	نرخ مرگ و میر جدید در هر میلیون	شاخت شدت	جمعیت	تراکم جمعیت	متوسط سن افراد مبتلا	افراد مبتلا بالای ۶۵ سال	افراد مبتلا بالای ۷۰ سال
سرانه تولید ناخالص داخلی	سرانه تولید ناخالص داخلی	شدت فقر	نرخ مرگ و میر بیماران قلبی و عروقی	نرخ مرگ و میر بیماران دیابتی مبتلا	نرخ زن های سیگاری	نرخ مردهای سیگاری	نرخ تخت بیمارستان در هر هزار	نرخ کام مردم	نرخ کام انسان	نرخ کام انسان	نرخ کام انسان	نرخ کام انسان
ممتنه	کدام از سنتون ها از کشورهای ایتالیا، ایسلند، استونی، لیتوانی، لوکزامبورگ، مالت، مونته نگرو، نرود، پرقال، دومنی، روسیه، اسلوکی، اسپانیا، سوئد، اکراین، ترکیبیں	کدام از سنتون ها از کشورهای ایتالیا، ایسلند، استونی، لیتوانی، لوکزامبورگ، نرود، پرقال، دومنی، روسیه، اسلوکی، اسپانیا، سوئد، اکراین، ترکیبیں	کدام از سنتون ها از کشورهای ایتالیا، ایسلند، استونی، لیتوانی، لوکزامبورگ، نرود، پرقال، دومنی، روسیه، اسلوکی، اسپانیا، سوئد، اکراین، ترکیبیں	کدام از سنتون ها از کشورهای ایتالیا، ایسلند، استونی، لیتوانی، لوکزامبورگ، نرود، پرقال، دومنی، روسیه، اسلوکی، اسپانیا، سوئد، اکراین، ترکیبیں	کدام از سنتون ها از کشورهای ایتالیا، ایسلند، استونی، لیتوانی، لوکزامبورگ، نرود، پرقال، دومنی، روسیه، اسلوکی، اسپانیا، سوئد، اکراین، ترکیبیں	کدام از سنتون ها از کشورهای ایتالیا، ایسلند، استونی، لیتوانی، لوکزامبورگ، نرود، پرقال، دومنی، روسیه، اسلوکی، اسپانیا، سوئد، اکراین، ترکیبیں	کدام از سنتون ها از کشورهای ایتالیا، ایسلند، استونی، لیتوانی، لوکزامبورگ، نرود، پرقال، دومنی، روسیه، اسلوکی، اسپانیا، سوئد، اکراین، ترکیبیں	کدام از سنتون ها از کشورهای ایتالیا، ایسلند، استونی، لیتوانی، لوکزامبورگ، نرود، پرقال، دومنی، روسیه، اسلوکی، اسپانیا، سوئد، اکراین، ترکیبیں	کدام از سنتون ها از کشورهای ایتالیا، ایسلند، استونی، لیتوانی، لوکزامبورگ، نرود، پرقال، دومنی، روسیه، اسلوکی، اسپانیا، سوئد، اکراین، ترکیبیں	کدام از سنتون ها از کشورهای ایتالیا، ایسلند، استونی، لیتوانی، لوکزامبورگ، نرود، پرقال، دومنی، روسیه، اسلوکی، اسپانیا، سوئد، اکراین، ترکیبیں	کدام از سنتون ها از کشورهای ایتالیا، ایسلند، استونی، لیتوانی، لوکزامبورگ، نرود، پرقال، دومنی، روسیه، اسلوکی، اسپانیا، سوئد، اکراین، ترکیبیں	کدام از سنتون ها از کشورهای ایتالیا، ایسلند، استونی، لیتوانی، لوکزامبورگ، نرود، پرقال، دومنی، روسیه، اسلوکی، اسپانیا، سوئد، اکراین، ترکیبیں
وتنشام	روکود از هر کدام از سنتون ها از کشورهای استرالیا، مولداوی	روکود از هر کدام از سنتون ها از کشورهای امریکا	روکود از هر کدام از سنتون ها از کشورهای ارضی، هند، اندونزی، ایران، اسرائیل، مالزی، پیال، کره جنوبی، سریلانکا، تایلند، ترکیه، وتنشام	روکود از هر کدام از سنتون ها از کشورهای اندونزی، اندونزی، ایران، اسرائیل، مالزی، پیال، کره جنوبی، سریلانکا، تایلند، ترکیه، وتنشام	روکود از هر کدام از سنتون ها از کشورهای آرژانتین کلمبیا، کاستاریکا، دومینیکا، اکوادور، السالوادور، هاینیتی، مکزیک، پاناما، پاراگوئه، آرژانتین، ترکیه، وتنشام	روکود از هر کدام از سنتون ها از کشورهای آرژانتین کلمبیا، کاستاریکا، دومینیکا، اکوادور، السالوادور، هاینیتی، مکزیک، پاناما، پاراگوئه، آرژانتین، ترکیه، وتنشام	روکود از هر کدام از سنتون ها از کشورهای آرژانتین کلمبیا، کاستاریکا، دومینیکا، اکوادور، السالوادور، هاینیتی، مکزیک، پاناما، پاراگوئه، آرژانتین، ترکیه، وتنشام	روکود از هر کدام از سنتون ها از کشورهای آرژانتین کلمبیا، کاستاریکا، دومینیکا، اکوادور، السالوادور، هاینیتی، مکزیک، پاناما، پاراگوئه، آرژانتین، ترکیه، وتنشام	روکود از هر کدام از سنتون ها از کشورهای آرژانتین کلمبیا، کاستاریکا، دومینیکا، اکوادور، السالوادور، هاینیتی، مکزیک، پاناما، پاراگوئه، آرژانتین، ترکیه، وتنشام	روکود از هر کدام از سنتون ها از کشورهای آرژانتین کلمبیا، کاستاریکا، دومینیکا، اکوادور، السالوادور، هاینیتی، مکزیک، پاناما، پاراگوئه، آرژانتین، ترکیه، وتنشام	روکود از هر کدام از سنتون ها از کشورهای آرژانتین کلمبیا، کاستاریکا، دومینیکا، اکوادور، السالوادور، هاینیتی، مکزیک، پاناما، پاراگوئه، آرژانتین، ترکیه، وتنشام	موزامبیق، نیجری، سینهال، افغانستان، تائزانیا، توکو، توپس، اوگاندا، زامبیا، زینباوه

جدول ۳- مشخصات خوشه های به دست آمده از روش کا از میانگین

نام خوشه	C*1	C*2	C*3	C*4	C*5
نرخ کل مبتلایان	۲۶ رکود از هر کدام از ستون ها ز کشورهای ارمنی، آذربایجان، بکلا遁ش، هند، اندونزی، ایران، اسرائیل، قرقیزستان، لاوس، مالزی، موسسان، میانمار، نیپال، پاکستان، کره جنوبی، سری لاک، تایلند، تیمور، ترکیه، ویتنام، یونان	۱ رکود از هر کدام از ستون ها ز رکود مریوط به کل کشورهای جهان	۳۳ رکود از هر کدام از ستون ها ز کشورهای الجزایر، بین، بورکنایف، الجزایر، قمر، مصر، آنونی، گامبیا، غنا، کینا، لیبریا، مالاوی، مورسی، مراکش، موزامبیک، نیجر، سیشل، آفریقای جنوبی، تانزانیا، توگو، تونس، اوگاندا، زامبیا، زمبابوه	۳۱ رکود از هر کدام از ستون ها ز کشورهای آلبانی، ترکیش، بوسنی و هرزگوین، بیرون، ایسلند، ایتالیا، لیتوانی، لوکزامبورگ، مالت، مولادو، مونته نگرو، نروژ، پرتغال، رومانی، رسپیانی، اسلوکی، سوئیس، اوکراین، انگلیس	۳۰ رکود از هر کدام از ستون ها ز کشورهای آذربایجان، اسرائیل، بارگونه، آمریکا، ارگوئه، آکاودور، سالادو، هایپنی، مکریک، پاناما، پاراگوئه، آمریکا، ارگوئه
نرخ مبتلایان جدید					
نرخ کل مرگ و میر					
نرخ مرگ و میر جدید					
نرخ کل مبتلایان در هر میلیون					
نرخ کل مبتلایان جدید در هر میلیون					
نرخ کل مرگ و میر در هر میلیون					
نرخ مرگ و میر جدید در هر میلیون					
شاخص شدت					
جمعیت					
تراکم جمعیت					
متوسط سن افراد مبتلا					
افراد مبتلا بالای ۶۵ سال					
افراد مبتلا بالای ۷۰ سال					
سرانه تولید ناخالص داخلی					
شدت فقر					
نرخ مرگ و میر بیماران قلبی و عروقی مبتلا					
نرخ مرگ و میر بیماران دیابتی مبتلا					
نرخ زن های سیگاری					
نرخ مرد های سیگاری					
نرخ تخت بیمارستان در هر هزار					

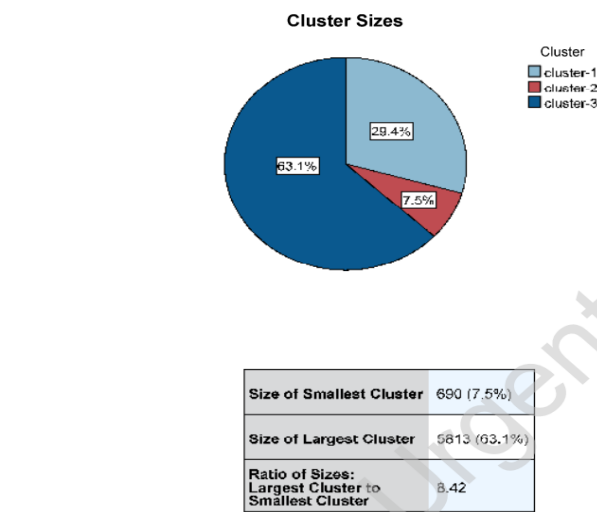
جدول ۴- مشخصات خوشه های به دست آمده از روش خوشه بندی دو مرحله‌ای

نام خوشه	C1	C2	C3	
نرخ کل مبتلایان	۳۶ رکود از هر کدام از ستون ها ز کشورهای آلبانی، اسرائیل، اتریش، بوسنی و هرزگوین، بیرون، ایسلند، ایتالیا، لیتوانی، لیتوانی، لوکزامبورگ، مالت، مولادو، مونته نگرو، نروژ، پرتغال، رومانی، رسپیانی، اسلوکی، سوئیس، اوکراین، انگلیس	۱۴ رکود از هر کدام از ستون ها ز کشورهای ارمنی، اکاودور، ایسلند، اسرائیل، ایتالیا، لوکزامبورگ، پاناما، پاراگوئه، پرتغال، رسپیانی، سوئیس، انگلیس، آمریکا، رکود مریوط به کل رسپیانی، اسلوکی، کره جنوبی، ایسلند، ایتالیا، لیتوانی، لیتوانی، لوکزامبورگ، مالت، مولادو، مونته نگرو، نروژ، پرتغال، رومانی، رسپیانی، اسلوکی، سوئیس، اوکراین، انگلیس	۵۵ رکود از هر کدام از ستون ها ز کشورهای الجزایر، آذربایجان، ارمنی، آذربایجان، بکلا遁ش، گامبیا، غنا، هایپنی، هند، اندونزی، ایسلند، ایسلند، ایتالیا، لیتوانی، لیتوانی، لوکزامبورگ، مالت، مولادو، مونته نگرو، نروژ، پرتغال، رومانی، رسپیانی، اسلوکی، سوئیس، اوکراین، انگلیس	۳۴ رکود از هر کدام از ستون ها ز کشورهای ارمنی، آذربایجان، اسرائیل، اتریش، بوسنی و هرزگوین، بیرون، ایسلند، ایتالیا، لیتوانی، لیتوانی، لوکزامبورگ، مالت، مولادو، مونته نگرو، نروژ، پرتغال، رومانی، رسپیانی، اسلوکی، سوئیس، اوکراین، انگلیس
نرخ مبتلایان جدید				
نرخ کل مرگ و میر				
نرخ مرگ و میر جدید				
نرخ کل مبتلایان در هر میلیون				
نرخ مبتلایان جدید در هر میلیون				
نرخ کل مرگ و میر در هر میلیون				
نرخ مرگ و میر جدید در هر میلیون				
شاخص شدت				
جمعیت				
تراکم جمعیت				
متوسط سن افراد مبتلا				
افراد مبتلا بالای ۶۵ سال				
افراد مبتلا بالای ۷۰ سال				
سرانه تولید ناخالص داخلی				
شدت فقر				
نرخ مرگ و میر بیماران قلبی و عروقی مبتلا				
نرخ مرگ و میر بیماران دیابتی مبتلا				
نرخ زن های سیگاری				
نرخ مرد های سیگاری				
نرخ تخت بیمارستان در هر هزار				



شکل ۶- نمودار دایره‌ای خوشه‌بندی با الگوریتم کا از میانگین کوهون

شکل ۵- نمودار دایره‌ای خوشه‌بندی با الگوریتم کوهون



شکل ۷- نمودار دایره‌ای خوشه‌بندی با روش خوشه‌بندی دورمحله‌ای

به منظور سنجش کارایی روش‌های خوشه‌بندی مورد استفاده در این پژوهش، با استفاده از دستور Auto cluster در نرم افزار IBM Modeler 18.0 و اجرای آن روی داده‌ها معین می‌کنیم که با توجه به درجه اهمیت، از کدام الگوریتم استفاده نماییم. با در نظر گرفتن ضریب الگوریتم‌ها در سه حالت Importance، Build time و Silhouette، روش خوشه‌بندی دورمحله‌ای با توجه به این که وزن بالاتری برابر با ۰,۳۶۷ دارد، مطلوب تر از سایر الگوریتم‌ها جهت خوشه‌بندی می‌باشد.

۱- برای حالت Build time (شکل ۸)

location				
<input checked="" type="checkbox"/>	Two... < 1	0.367	3	
<input type="checkbox"/>	K-m... < 1	0.224	5	
<input type="checkbox"/>	Koh... < 1	0.174	10	

شکل ۸- کارایی روش‌های خوشه‌بندی برای حالت Build time

۲- برای حالت Silhouette (شکل ۹):

	location	Koh...	< 1	0.174	10
		K-m...	< 1	0.224	5
		Two...	< 1	0.367	3

شکل ۹- کارایی روش های خوشه بندی برای حالت Silhouette

۳- برای حالت Importance (شکل ۱۰):

	location	Two...	< 1	0.367	3
		K-m...	< 1	0.224	5
		Koh...	< 1	0.174	10

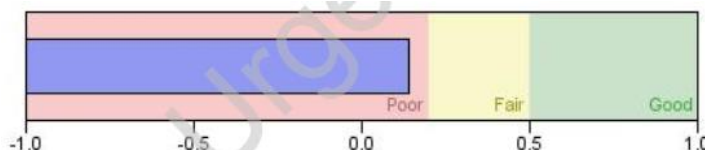
شکل ۱۰- کارایی روش های خوشه بندی برای حالت Importance

همچنین با توجه به مقدار ضریب نیمرخ^۱، برای سه روش خوشه بندی مورد استفاده در این پژوهش نیز به همین نتیجه می رسیم که روش خوشه بندی دومرحله‌ای با ضریب نیمرخ نزدیک به ۰.۵ کاراتر از سایر روش‌ها می‌باشد. ضریب نیمرخ برای الگوریتم کوهونن به شرح شکل ۱۱، برای الگوریتم کا از میانگین به شرح شکل ۱۲ و برای روش خوشه بندی دومرحله‌ای به شرح شکل ۱۳ می‌باشد. شاخص نیمرخ بر اساس ماتریس عدم تشابه بنا شده است. مقدار ضریب نیمرخ برای هر نقطه بر اساس میزان شباهت آن به خوشه آن نسبت به میزان شباهت به خوشه‌های دیگر محاسبه می‌شود:

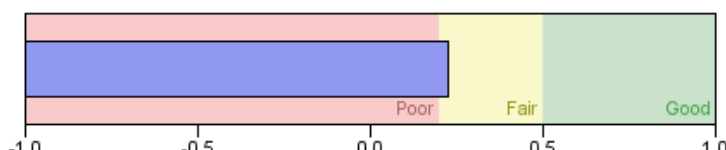
$$S_i = \frac{b_i - a_i}{\max(a_i, b_i)} \quad (4)$$

در این رابطه، a_i نشانده‌نده میانگین فاصله از نقطه i ام تا سایر نقاط هم خوشه‌ای آن است و b_i نماد کمترین مقدار متوسط میان نقطه i ام تا سایر خوشه‌های است. ضریب نیمرخ در بازه $[1 - 1]$ مقدار می‌گیرد که هرچه مقدار آن به یک نزدیک تر باشد، مطلوب‌تر است. تفسیر مقدار ضریب نیمرخ با توجه به معادله شماره ۴ به شرح ذیل می‌باشد:

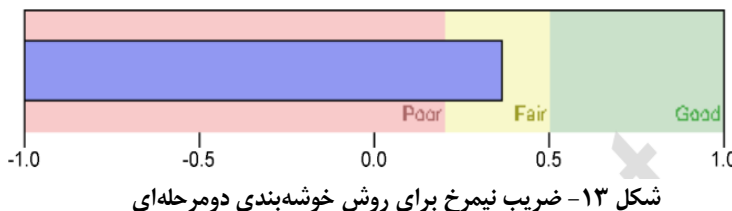
- | | |
|---|---|
| <ul style="list-style-type: none"> - شیء اشتیاه به خوشه‌ای تخصیص داده شده است. - شیء به روشنی به خوشه خود یا همسایه تعلق ندارد. | ضریب نیمرخ:
۱- شیء اشتیاه به خوشه‌ای تخصیص داده شده است.
۰- شیء به روشنی به خوشه خود یا همسایه تعلق ندارد.
۱- شیء از خوشه‌های همسایه بسیار دور است که بهترین وضعیت را دارد (مؤمنی، ۱۳۹۸ و فانضی راد و پویا، ۱۳۹۵). |
|---|---|



شکل ۱۱- ضریب نیمرخ برای الگوریتم کوهونن



شکل ۱۲- ضریب نیمرخ برای الگوریتم کا از میانگین



شکل ۱۳- ضریب نیمرخ برای روش خوشبندی دومرحله‌ای

نتیجه‌گیری

شیوع کووید-۱۹ به یک تهدید بالینی برای جمعیت عمومی و پرسنل مراقبت‌های بهداشتی در سراسر جهان تبدیل شده است. پژوهش حاضر داده‌های مرتبط با کرونا ویروس جدید-۲۰۱۹ را از سایت بهداشت جهانی در تاریخ ۷ ژوئن اخذ نموده است که داده‌ها در قالب فایل اکسل از سایت بهداشت جهانی در بازه ماه اول (January) سال ۲۰۲۰ الی ماه ششم (June) سال ۲۰۲۰ در تاریخ‌های متفاوت در طول این بازه برای ۸۰ کشور و رکورد آخر مربوط به آمار کل کشورهای جهان است) جمع آوری شده است که شامل ۲۴ ستون (متغیر) می‌باشد. به منظور خوشبندی از روش‌های خودسازمانده از جمله الگوریتم‌های کوهومن و کا از میانگین و خوشبندی دومرحله‌ای بهره گرفته و در نهایت با انجام آزمون، کارایی این سه تکنیک تعیین شده است. با توجه به نتایج ملاحظه می‌گردد که روش خوشبندی دومرحله‌ای با توجه به مقدار ضریب نیمرخ تقریباً نزدیک به ۰,۵ و انجام دستور Auto Cluster با وزن ۰,۳۶۷ (با توجه به شکل های ۱۳-۸) از سایر روش‌ها چهت خوشبندی کاربردی تر می‌باشد. این پژوهش با در نظر گرفتن روش‌های متفاوت در خوشبندی داده‌ها نسبت به تحقیقات مشابه کاربردی تر می‌باشد و نتایج دقیق تری ارائه داده است. برای تحقیقات آتی پیشنهاد می‌گردد از روش‌های خوشبندی فازی از تلفیق رویکرد فازی در بحث خوشبندی و یا تلفیق شبکه عصبی مصنوعی و روش‌های خودسازمانده بهره گرفته شود.

منابع

۱. زعفریان، طاهره، اندیبلی، محمد، مومنی، حسین، نجفی، سید اسماعیل (۱۳۹۷)، «بخش بندی قیمتی بازار خودروی سواری ایران و رتبه بندی خودروها در بخش‌های قیمتی با استفاده از روش ترکیبی دیمتل-خوشبندی دومرحله‌ای-تپسیس و وزندهی دو مرحله‌ای آنتروپی شانون»، *فصلنامه علمی پژوهشی مطالعات مدیریت صنعتی*، شماره ۵۰، صص ۱۵۹-۱۹۲.
۲. محمدی، بهمن و کامکار روحانی، ابوالقاسم (۱۳۹۶)، «به کارگیری روش‌های خوشبندی کا از میانگین، میانگین فازی و گوستافسون کسل در تلفیق نتایج وارون سازی داده‌های توموگرافی لرزه‌های انکساری و مقاومت ویژه الکتریکی برای ارزیابی آبرفت و سنگ بستر»، *علوم زمین خوارزمی*، شماره ۲، صص ۱۸۳-۱۹۸.
۳. توکلی، احمد، وحدت، کتابون و کشاورز، محسن (۱۳۹۸)، «کروناویروس جدید (COVID-19)؛ بیماری عفونی نوظهور در قرن ۲۱»، پژوهشکده زیست-پزشکی خلیج فارس، دانشگاه علوم پزشکی و خدمات بهداشتی درمانی بوشهر، شماره ۴۳-۴۵۰، صص ۱۸۳-۲۰۱۹.
۴. جعفری، سمیه، فرشید، راضیه و جباری، لیلا (۱۳۹۹)، «تحلیل موضوعی مطالعات کووید-۱۹ در پنج قاره بزرگ»، *دوفصلنامه علمی-پژوهشی دانشگاه شاهد*، صص ۱-۲۰.
۵. علی‌پور، احمد، اورکی، محمد و خرامان، آزیتا (۱۳۹۸)، «مروری بر اثرات عصبی و شناختی کووید-۱۹»، *فصلنامه علمی-پژوهشی عصب روانشناسی*، شماره ۴، صص ۱۳۵-۱۴۶.
۶. فرنوش، غلامرضا، علیشیری، غلامحسین، حسینی ذیجود، سید رضا، درستکار، روح الله و جلالی فراهانی، علیرضا (۱۳۹۹)، «شناخت کروناویروس نوین-۲۰۱۹ و کووید-۱۹ بر اساس شواهد موجود- مطالعه مروری»، *مجله طب نظامی*، دوره ۲۲، شماره ۱، صص ۱۱-۱۱.
۷. جوادی، سامان، هاشمی، مهدی و سوخته زاری، مهدی (۱۳۹۷)، «تحلیل چند پارامتره آلودگی آبخوان قزوین بر مبنای نقشه کاربری اراضی و با استفاده از تکنیک خوشبندی کا از میانگین»، *اکوهیدرولوژی*، دوره ۵، شماره ۱، صص ۲۹۳-۳۰۵.
۸. کریمی علیوجه، محمدرضا، خذنگی، سعید و صالح ترکستانی، محمد (۱۳۹۵)، «روش فرا ابتکاری در یکپارچه سازی مدل بخش بندی بازار مشتریان تلفن همراه تهران با استفاده از شبکه‌های خودسازمانده و روش میانگین کا»، *مدیریت فناوری اطلاعات*، دانشکده مدیریت دانشگاه تهران، دوره ۸، شماره ۲، صص ۳۵۱-۳۷۲.
۹. مؤمنی، منصور، (۱۳۹۸)، «خوشبندی (تحلیل خوشبندی ای)»، چاپ پنجم.
۱۰. سلطانی، آزاده، صدقی یزدی، هادی، اشک زری طوسی، سهیلا و روحانی، مجتبی (۱۳۸۹)، «نیهود شبکه خودسازمانده کوهومن با هدف خوشبندی داده‌های فازی»، *دهمین کنفرانس سیستم‌های فازی ایران*، دانشگاه شهید بهشتی، شماره ۲۲-۲۴، صص ۱۱۷-۱۲۳.

۱۱. فاضی راد، محمدعلی و پویا، علیرضا (۱۳۹۵)، «خوشه بندی فروشگاه های آنلاین از نگاه تأمین کننده با کمک بهینه یابی تعداد خوشه ها در الگوریتم دومرحله ای SOM»، *فصلنامه علمی پژوهشی مطالعات مدیریت صنعتی*، شماره ۴۳، صص ۱۰۹-۱۳۴.
12. Thompson, R. (2020). Pandemic potential of 2019-nCoV. *Lancet Infect Dis*. 20 (3), 280.
13. Lai, C.C., Shih, T.P., KO, W.C., Tang, H.J. and Hsueh, P.R. (2020). Severe acute respiratory syndrome coronavirus 2 (SARS-CoV-2) and coronavirus disease-2019 (COVID-19): The epidemic and the challenges. *Int J Antimicrob Agents*. Mar; 55(3),105924.
14. Kantardzic M. (2011). DATA MINING Concepts, Models, Methods, and Algorithms, Second Edition.
15. Manochandar, S., Punniyamoorthy, M. and Jeyachitra, R.K. (2020). Development of new seed with modified validity measures for k- means clustering, *Computers & Industrial Engineering*, 1-40, <https://doi.org/10.1016/j.cie.2020.106290>.
16. Wang, F., Wang, Q., Nie, F., Li, Zh., Yu, W. and Ren, F. (2020). A linear multivariate binary decision tree classifier based on K-means splitting, *Pattern Recognition*, 107, pp. 1-13.
17. Ebrahim Ghadiri, S.M. and Mazlumi, K. (2019). Adaptive protection scheme for microgrids based on SOM clustering technique, *Applied Soft Computing Journal*, 1-46, <https://doi.org/10.1016/j.asoc.2020.106062>.
18. Kamimura, R. (2019). SOM-based information maximization to improve and interpret multi-layered neural networks: From information reduction to information augmentation approach to create new information, *Expert Systems with Applications*, 125, pp. 397-411.
19. Hassannezhad, M. and Clarkson, P.J. (2017). Internal and External Involvements in Integrated Product Development: A Two-Step Clustering Approach, *Procedia CIRP* 60, pp. 253 – 260.